

## PAPER DETAILS

TITLE: Üst Kretase-Paleosen Yaslı Germav Formasyonunun Mineralojisi (Batman-Gercüs)

AUTHORS: Sema TETIKER

PAGES: 202-215

ORIGINAL PDF URL: <https://dergipark.org.tr/tr/download/article-file/391353>



## Üst Kretase-Paleosen Yaşı Germav Formasyonunun Kil Mineralojisi (Batman-Gercüş)

Sema TETİKER<sup>1</sup>, Hüseyin YALÇIN<sup>2</sup>, Yeter BUTEKİN<sup>3</sup>

<sup>1</sup> Yrd.Doç.Dr. Batman Üniversitesi, [sema.tetiker@batman.edu.tr](mailto:sema.tetiker@batman.edu.tr)

<sup>2</sup> Prof.Dr. Cumhuriyet Üniversitesi, [yalcin@cumhuriyet.edu.tr](mailto:yalcin@cumhuriyet.edu.tr)

<sup>3</sup> Batman Üniversitesi, Fen Bilimleri Enstitüsü Öğrencisi

Geliş Tarihi/Received:

19.09.2017

Kabul Tarihi/Accepted:

17.10.2017

Yayın Tarihi/Published:

27.12.2017

### ÖZ

Germav Formasyonu'nun alt ve üst üyesini temsil eden pelitik (şeyl, karbonatlı şeyl), klastik (silttaşlı, kumtaşlı, karbonatlı kumtaşlı) ve karbonatlı örnekler (marn, dolomitik marn) üzerinde optik ve taramalı elektron mikroskopisi ile X-işınları kırınımı (tüm kayaç ve kil fraksiyonu) yöntemleri uygulanmıştır. Birimde magmatik (kuvars, feldispat, amfibol, piroksen, serpantin), diyajenetic karbonat (kalsit, ender dolomit) ve fillosilikatlar (karışık tabaklı C-S ve C-V, smektit, klorit, ender olarak illit ve kaolinit) mineralleri gözlenmektedir. Birimin üst üyesi başlıca serpantin ve C-V; alt üyesi ise smektit içermesi bakımından birbirinden belirgin olarak ayırt edilmektedir. Birim Üst Kretase yaşı Güneydoğu Anadolu Ophiolitleri'nin yerleşimi ve/veya sonrasında yaygın olarak magmatik kayaçlardan beslenerken detritik + diyajenetic mineralojisini kazanmıştır.

**Anahtar Kelimeler:** Detritik, diyajenez, fillosilikat, XRD

## Clay Mineralogy of Upper Cretaceous-Paleocene aged Germav Formation (Batman-Gercüş)

### ABSTRACT

Optical and scanning electron microscopes, and X-ray diffraction (whole-rock and clay fraction) methods were applied on pelitic (shale, carbonate shale), clastic (siltstone, sandstone, sandstone with carbonate) and carbonate (marl, dolomitic marl) specimens representing the upper and lower members of the Germav Formation. Magmatic (quartz, feldspar, amphibole, pyroxene, serpentine), diagenetic carbonate (calcite, rare dolomite) and phyllosilicates (mixed layer C-S and C-V, smectite, chlorite, rare illite and kaolinite) are observed in the unit. The top and lower members of units distinguished from each other in terms of mineralogical contents that contain mainly serpentine and C-V, and smectite. The unit have detritic + diagenetic mineralogy by feeding from widely the magmatic rocks during settlement and/or post-settlement of the Southeast Anatolian Ophiolites of Upper Cretaceous.

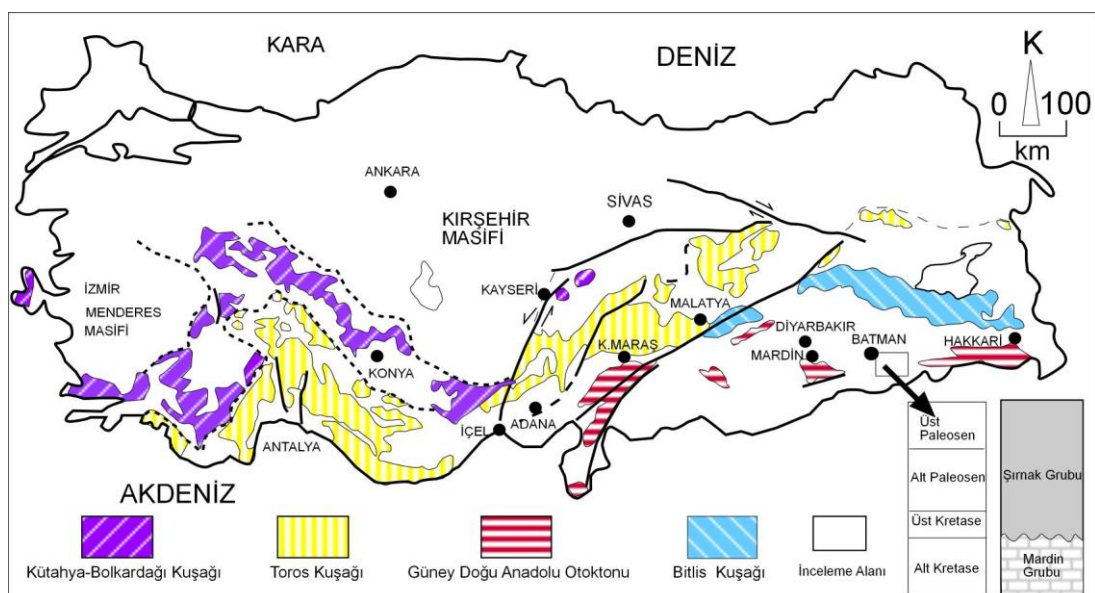
**Keywords:** Detrital, diagenesis, phyllosilicate, XRD

## 1. GİRİŞ

Kuzeyde Lavrasya ve güneyde Afrika plakası arasında bulunan Arap Plakası; Türkiye'nin Güneydoğu Anadolu Kuşağı (GDAOK) bundan sonra her ifade de kısaltma olabilir boyunca uzanmakta olup, bu alan Alpin kuşağına ait sedimanter birimlerle temsil edilmektedir. Bu kuşak boyunca yüzeyleyen otokton kökenli kayaçlar Güneydoğu Anadolu Otoktonu (GDAO) olarak tanımlanmış olup (Göncüoğlu vd., 1997), bu platform üzerinde Paleozoyik-Tersiyer yaş aralığındaki silisiklastik ve karbonat kayaçlarından oluşan bir istif yer almaktadır.

Arap levhasının üzerinde yer alan çalışma alanının kuzey-kuzeydoğusunda Üst Kretase yaşılı Bitlis ve GDAOK, kuzey-kuzeybatısında ise Toros Kuşağı'na ait kayaçlar yer almaktadır (Göncüoğlu vd., 1997) (Şekil 1). Güneydoğu Anadolu sütur zonu boyunca uzanan ve çok sayıda tektonik dilimi temsil eden ; GDAOK Neotetis'in güney kolumnun dalması sırasında okyanusal ve dalma-batma kökenli yığışım prizmasını temsil eden kayaçlarından oluşmaktadır. Yılmaz (1993) tarafından ayrıtlanan tektonik kuşaklar (güneyden kuzeye doğru; Arap Platformu, Ekay Zonu ve Nap Bölgesi) açısından ele alındığında; GDAO Arap Platformu içerisinde allokton kökenli (Nap Bölgesi) birimleri GDAOK ve Bitlis-Pütürge Metamorfitleri ile temsil etmektedir.

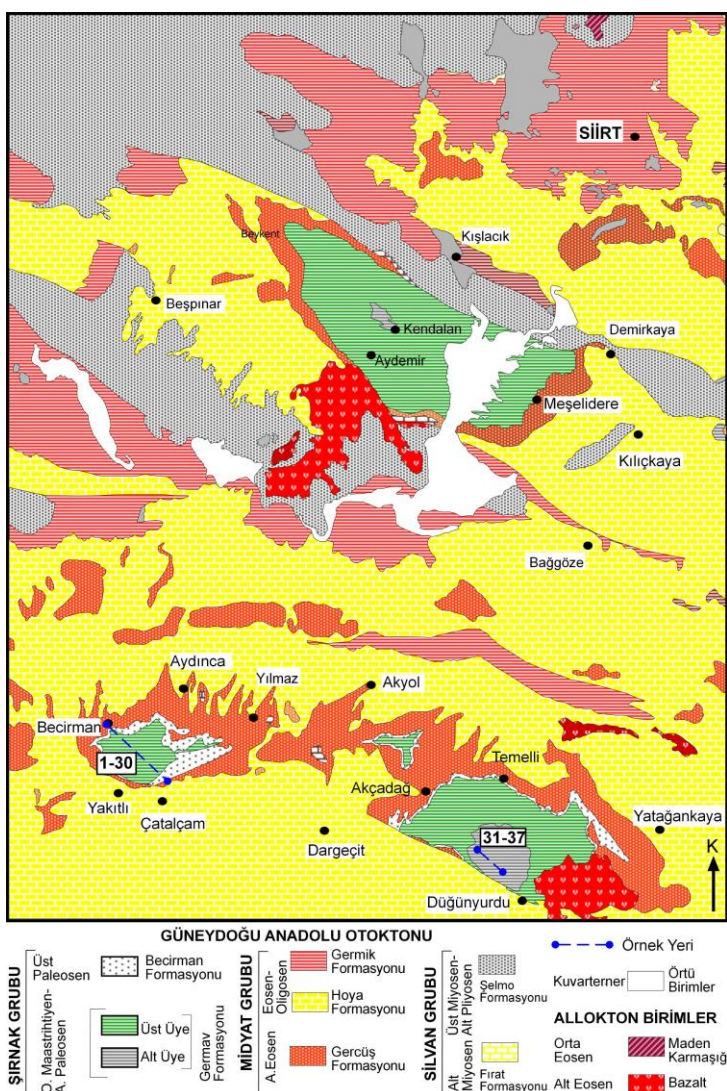
İnceleme alanının da içerisinde bulunan bölge, petrol açısından önemli olması nedeniyle farklı birçok araştırmacının dikkatini çekmiş ve genellikle genel jeolojik amaçlı çalışmalar (Tuna, 1973; Perinçek, 1978, 1979; Göncüoğlu, 1981; Ketin, 1983; Özgüler, 2004; Bağırsaklı vd., 1995) yapılmıştır. GDAO içerisinde son yıllarda yapılan çalışmalarda (Bozkaya vd., 2011; Bozkaya ve Yalçın, 2013; Tetiker vd., 2015a; Tetiker vd., 2015b, Tetiker vd., 2016) farklı yaştaki birimlerin mineralojik ve petrografik özellikleri de incelenmiştir. Bu çalışmada ise Batman-Gercüş yöresinde yüzeyleyen GDAO Şırnak Grubu'na ait Üst Kretase-Paleosen yaşılı Germav Formasyonu'nun mineralojik özelliklerinin incelenmesi amaçlanmaktadır.



Şekil 1. Güney Anadolu'nun tektonik birlikleri (Göncüoğlu vd., 1997) ve inceleme alanı.

## 2. STRATİGRAFİ VE LİTOLOJİ

Eosen yaşlı Gercüş formasyonu (Maxson, 1936) ve Alt Eosen-Alt Oligosen yaşlı Hoya ve Germik formasyonları örtmektedir (Perinçek, 1978). Alt Miyosen yaşlı Fırat Formasyonu (Perinçek, 1978) kayaçları ise bu birimler üzerinde uyumsuz olarak yer almaktadır. Bunlar ise Üst Miyosen-Alt Pliyosen yaşlı Şelmo formasyonu (Bolgi, 1961) tarafından üzerlenmektedir. İnceleme alanının güney-güneydoğu kesimlerinde Eosen yaşlı bazaltlar, kuzeyde ise Alt-Orta Eosen yaşlı Maden Karmaşığı'na (Ketin, 1948) ait kayaçlar bulunmaktadır.



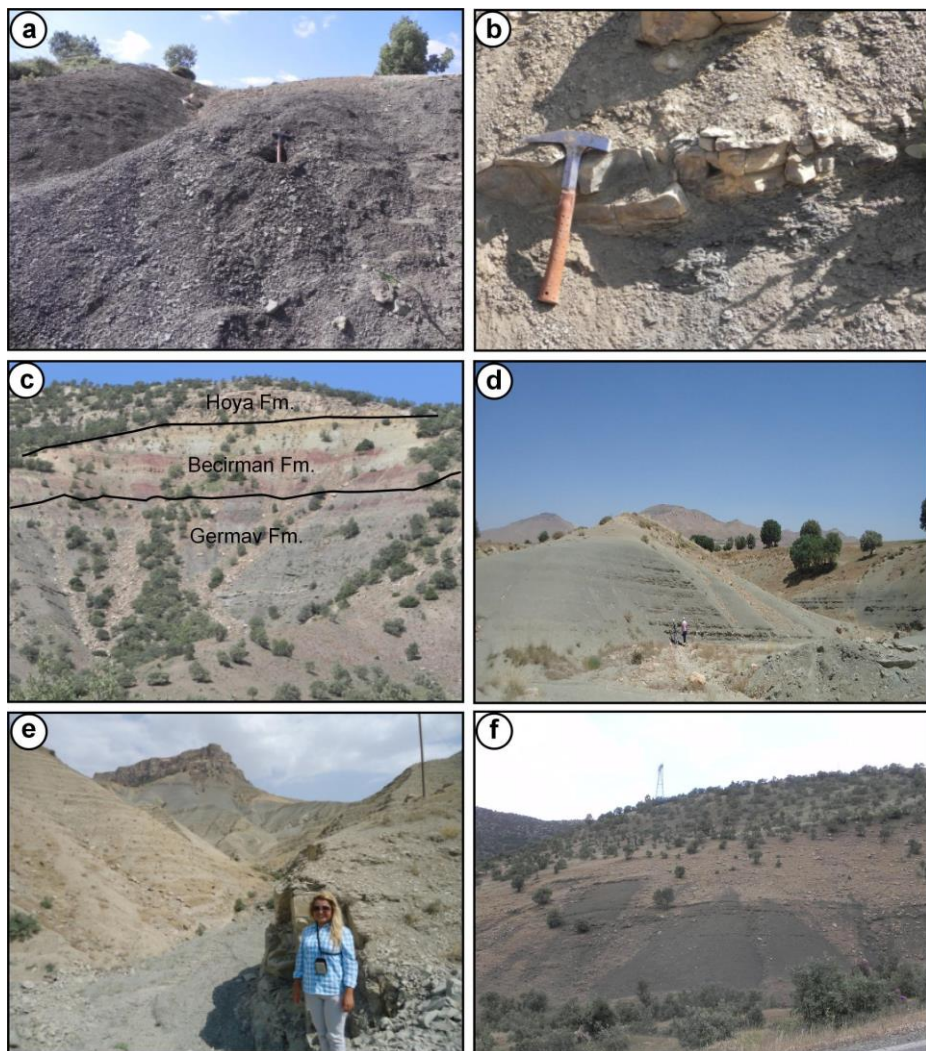
Şekil 2. İnceleme alanının 1:100.000 ölçekli Mardin-M47 paftasının jeolojik haritası (MTA, 2002)

İlk kez Maxson (1936) tarafından Hermis Antiklinali'nde tanımlanan Germav Formasyonu, Üst Maestrichtyen yaşlı alt kesimleri Alt Germav Üyesi (Kirk, 1937) ve Alt Paleosen yaşlı üst kesimleri ise Üst Germav Üyesi (Tromp, 1940) olarak adlandırılmıştır. Tip lokalitesi Batman-Gercüş yörensi Germav köyü dolaylarında gözlenen birim tipik olarak kireçtaşları arakatkıları içeren gri renkli kumtaşı, marn ve şeyl ardalanmasına sahiptir. GDAO içerisinde farklı alanlarda yüzlekleri bulunan birimin tip yerinde 676 m kalınlığı olmakla birlikte GDAO içerisinde batıdan doğuya doğru yanal olarak Amanoslar dağlarında 26-70 m (Günay, 1984; Yılmaz, 1984); Gaziantep-Adıyaman arasındaki bölgede 50-200 m (Günay, 1984);

1961; Tolun vd., 1962) arasında değişen kalınlıklar ölçüldüğü bildirilmektedir. Ayrıca birimlerin Siirt-Eruh (584-1000 m), Şırnak-Uladere (1220-1745 m) ve Hakkari-Çukurca (360 m) yörelerinde yüzlekleri de yer almaktadır. Derin deniz/yamaç ortamını temsil eden Germav Formasyonu'nun Üst Maestrihtiyen-Alt Paleosen yaşı olduğu belirtilmektedir (Güven vd., 1991; Coruh 1991).

Germav formasyonu 1:100.000 ölçekli Mardin-M47 paftasında yer alan Batman-Gercüş yöresinde geniş alanlarda yüzlekler vermektedir. Formasyon tip yeri olan Batman-Gercüş Becirman köyü civarında kesitler atılarak incelenmiş, ayrıca Gercüş'ün 10 km batısındaki Kırkat Köyü kuzeyi ve Mardin-Dargeçit yörelerinde de noktasal örneklemeler yapılmıştır. Birimlerin kalınlıkları sırasıyla 250 m., 100 m. ve 50 m. olarak ölçülmüştür. Batman-Gercüş yöresi Becirman köyü civarındaki inceleme; başlangıç K 37358, D 41343 ve bitiş K 37363, D 41356 koordinatlarında yapılmıştır. Birimin ana litolojisi olan şeyler diğer alanlardaki yüzleklerinde olduğu gibi gri renkli, ayırmış ve konkoidal kırıklara sahip görünümleri bakımından tipiktir (Şekil 3a). Beyaz-sarı renkli kumtaşı, karbonatlı kumtaşı ve marn aratabakaları 5-30 cm kalınlıkta olup, sert çıkışları şeklinde gözlenmektedir (Şekil 3b). Yumuşak bir topografya gösteren yatay görünümdeki tabakalara sahip olan birim üzerinde kırmızı renkli şeyl-marn ardalanmasından oluşan Becirman formasyonu ile uyumlu bir geçiş sunmaktadır (Şekil 3c).

Diğer inceleme alanı olan Batman-Gercüş Kırkat yöresinde Üst Germav üyesi Garzan Formasyonu'nu çevreler şekilde mostra vermektedir. Gercüş-Kırkat köyündeki (noktasal: K 37705, D 41612) yüzleklerinde birim gri renkli şeyl ve krem renkli kireçtaşları ve marn arakatkıları ile temsil edilmektedir. Oldukça yumuşak topografya sunan birim içerisindeki şeyller konkoidal kırıklara sahip olup, ayırmış bir görünüm sunmaktadır (Şekil 3d). Bu yörede birim uyumlu olarak inceleme alanının en yüksek kesimlerini oluşturan Hoya Formasyonu'na ait krem renkli kireçtaşları tarafından örtülmektedir. Ayrıca Alt Germav Üyesi için Mardin-Dargeçit yöresinde Düğünurdu köyü civarında (K 37331-D 41486) yüzeyleyen birimin alt kesimleri koyu gri ve mavimsi renkli şeyller ile arakatkılı kumtaşı seviyelerinden oluşmaktadır (Şekil 3e). Kumtaşı aratabakaları 5-15 cm kalınlığında olup, birim içerisindeki daha sert çıkışları oluşturmaktadır (Şekil 3f). Birimin üst seviyelerinde yer alan kumtaşları daha kalın tabakalı (30-50 cm) ve soğan kabuğu türü bozunma yapıları göstermektedir.



**Şekil 3.** Germav Formasyonu üyelerinin arazi görünümleri, a) Üst Germav üyesi gri renkli, konkoidal kırıklı şeyl seviyeleri (Batman-Becirman köyü), b) Üst Germav üyesinde konkoidal kırıklı gri renkli şeyl ve krem-sarı renkli silttaşlı ara tabakaları (Batman-Becirman köyü), c) gri renkli Üst Germav üyesi, kırmızı renkli Becirman ve beyaz renkli Hoya Formasyonları'nın uyumlu geçisi (Batman-Becirman köyü), d) gri renkli Üst Germav üyesi şeyl-marn ardalanmalarında genel görünüm (Batman-Kirkat köyü), e) Alt Germav üyesi gri renkli şeyl, kumtaşı ve kireçtaşlı ardalanmaları (Mardin-Dargeçit), f) Alt Germav üyesi koyu gri renkli şeyl-marn ardalanmaları (Mardin-Dargeçit)

### 3. MATERİYAL ve YÖNTEM

Batman ili güneydoğusu'nda Gercüş ilçesi Becirman ve Kirkat köyleri ile Mardin ili Dargeçit yörelerinde incelenen Germav Formasyonu'nunda yapılan arazi çalışmasında noktasal ve çoğunuğu ölçülu kesitler boyunca yaklaşık her biri 1 kg ağırlığında toplam 40 adet örnek derlenmiştir.

Alınan örnekler petrografik incelemeler için LEICA DM 750P Marka trinoküler polarizan mikroskop altında yapılmıştır. Taramalı Elektron Mikroskop (SEM-EDS) İncelemeleri MTA Mineraloji-Petrografi Laboratuvarları'nda INSPECT F50 model cihazda yapılmıştır. X-ışınları kırınımı incelemeleri (XRD) için örnekler Batman Üniversitesi Jeoloji Laboratuvarları'nda RETSCH marka BB-200 model çeneli kırıcıda 5 mm'den küçük taneler halinde kırılmış ve RETSCH marka RM-200 model silisyum karpit çanaklı öğütücüde öğütülmüştür. Bu şekilde elde edilen toz malzeme plastik (polietilen) poşetler içine konulup etiketlendikten sonra çözümlemeler için kullanılmıştır.

XRD incelemeleri Batman Üniversitesi Jeoloji Laboratuvarları'nda Rigaku marka Miniflex-2 model

(Brindley, 1980) esas alınarak hesaplanmıştır. (Tüm kayaç hesaplamlarında dolomit, kil fraksiyonu hesaplamları için glikollü çekimlerden itibaren kaolinit referans olarak alınmıştır (Yalçın ve Bozkaya, 2002).  $d$ -mesafelerinin ölçülmesinde kuvars iç standart olarak kullanılmıştır. Kil minerallerinin tanımlanması (001) bazal yansımalarına göre yapılmıştır. XRD-KF çözümlemeleri kil ayırmayı işlemi kimyasal çözme (kil-dışı fraksiyonun uzaklaştırılması), santrifüjleme – dekantasyon / dinlendirme ve yıkama, süspansiyonlama - sedimantasyon - sifonlama - santrifüjleme ve şişeleme işlemlerinden oluşmaktadır. Karbonat mineralleri içeren örnek için % 10 HCl, kil dışı bileşenler atılmıştır. Süspansiyonlama işleminin uzun sürmesi halinde çok az oranda calgon (sodyum hekzametafosfat) eklenecek, süreç hızlandırılmaya çalışılmıştır. Santrifüjleme işlemi ROTINA marka 5000 devir/dk hızı ve 200 cc kapasiteli plastik kapaklı kodeli santrifüjde yapılmıştır. Ayrılmış her kil çamurundan üzerine sıvama veya kabarıp çatlayanlarda süspansiyon halinde üç adet yönlendirilmiş lam preparat hazırlanmış ve bunlar oda sıcaklığında kurutulmaya bırakılmıştır. Kil fraksiyonu çekimleri normal-N (havada kurutulma), glikolleme-EG (60 °C de 16 saat desikatörde etilen glikol buharında bırakma) ve fırınlama-F (490 °C de 4 saat fırında ısıtma) işlemleri uygulanmıştır. Çekimlerde gonyometre hızı 1°/dak ve kayıt aralığı 20=4-30° (hata miktarı ±0.04°) olarak belirlenmiştir.

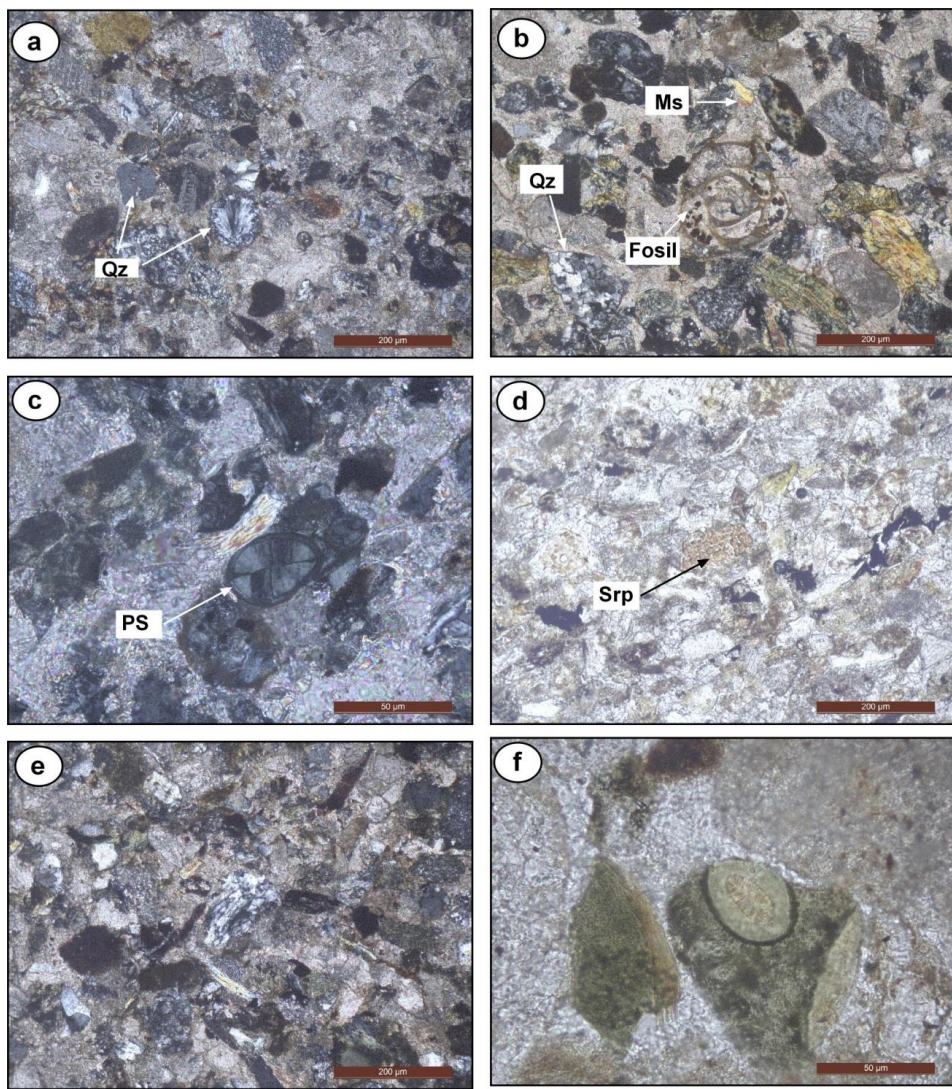
## 4. PETROGRAFİ

### 4.1. Optik Mikroskop İncelemeleri

Birime ait pelitik (şeyl) ve klastik (silttaşı, kumtaşları) kayaçlarından olmak üzere toplam 12 örnekte petrografik inceleme yapılmıştır. Çok ince taneli, mineralojik olgun, dokusal yarı olgun, şeyl türü kayaçlarında bileşenler kuvars, feldispat, mika (serizit), kalsit ve opak mineralleridir. Matrikste serizitleşme ve killeşme yaygın olup, siyah renkli Fe-oksit sıvamaları yaygın olarak gözlenmektedir. Kalsit mineralleri gözenek ve çatlaklıarda yer yer iri kristaller biçiminde bulunmaktadır. Bu kayaçlarda fosil kavkıkları da izlenmiştir.

Üst Germav üyesine ait kumtaşları ve silttaşları kayaçlarında mineraller köşeli ve iyi boylanmış olup, bağlayıcı malzemede karbonat ve kil mineralleri bulunmaktadır. Bileşenler kuvars, mika (muskovit, serizit), feldispat, serpentin, kalsit ve opak mineralleridir. Kuvars mineralleri monokristalin, polikristalin ve küresel boşluklarda işinsal türleri yer almaktadır (Şekil 4a). Muskovit mineralleri bol miktarda olup, levhamsı ve uzamiş görünümleri tipiktir (Şekil 4b). Ayrıca kil minerallerinden karışık tabakalı klorit-smektit (C-S) mineralleri yeşil renkli olup, küresel şekilli gözeneklerde işinsal görünümleri ile dikkat çekmektedir (Şekil 4c). Kumtaşlarında XRD çözümlemeleri ile de saptanmış olan serpentin içeren kayaç parçaları ise genellikle ağ dokulu olarak gözlenmektedir (Şekil 4d). Opak mineraller ise bol miktarda izlenmektedir.

Alt Germav üyesine ait kumtaşlarında yapılan incelemelerde kalsit çimentolu bu kayaçlarda taneler köşeli, iyi boylanmış olup, kuvars mineralleri polikristalin türdedir (Şekil 4e). Bol miktarda uzun ve levhamsı muskovit mineralleri içeren bu kayaçlarda az miktarda polisentetik ikizlenmeli feldispat mineralleri de gözlenmiştir. Bol opak mineral içeren kumtaşlarında yeşil renkli klorit ve/veya C-S mineralleri küresel ve elipsoidal boşluklarda yer almaktadır. Yer yer işinsal görünümleri dikkat



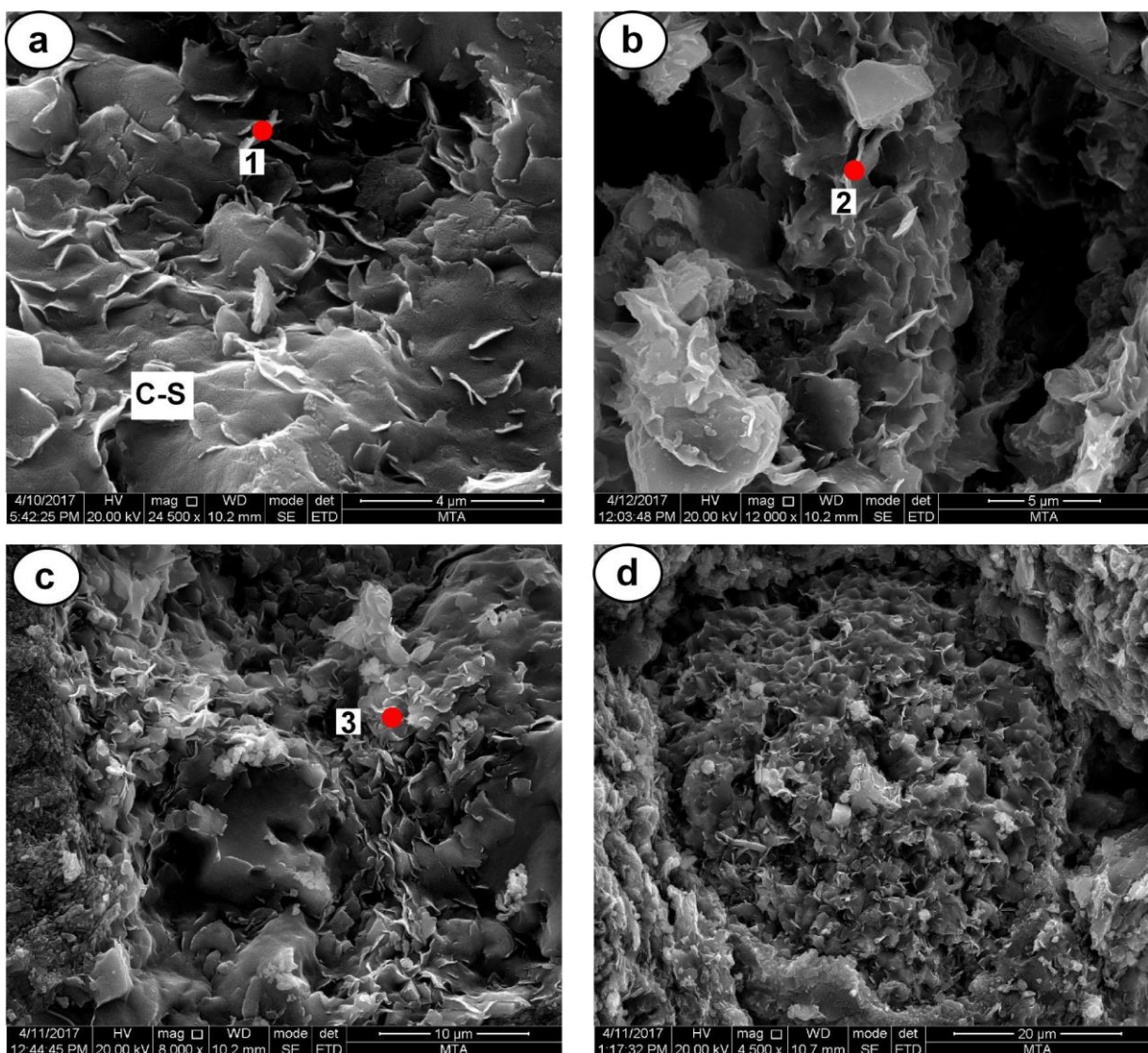
**Şekil 4.** Germav formasyonu kumtaşlarının mikrofotoğrafları, a) monokristalin ve işinsal kuvars mineralleri (Üst Germav: BBG-9; çift nikol=cn), b) levhamsı muskovit, polikristalin kuvars ve fosil kavıkları (Üst Germav: BBG-12; cn), c) küresel boşluklarda işinsal C-S mineralleri (Üst Germav: BBG-8, cn), d) ağı dokulu serpantin parçaları (Üst Germav: BBG-9, tek nikol; tn), e) karbonat çimentolu kumtaşlarında polikristalin kuvars mineralleri (Alt Germav: BBG-37, cn), f) elipsoidal gözeneklerde yeşil renkli klorit mineralleri (Alt Germav: BBG-40, tn) (Ms=Muskovit, Qz=Kuvars, PS=Fillosilikat, Srp=Serpantin)

#### 4.2.Taramalı Elektron Mikroskop İncelemeleri

Germav Formasyonu şeyl litolojisine sahip kayaçlarda yapılan SEM-EDS inceleme sonuçları Tablo 1 de, örnekler ait mikrofotoğraflar ise Şekil 5 de verilmiştir. Şeylörneğinde (BBG-7: C-S + kuvars + kalsit  $\pm$  dolomit), yaklaşık 1-4  $\mu\text{m}$  arasında uzunluğa ve 0.1  $\mu\text{m}$  kalınlığa sahip C-S mineralleri bağlayıcı malzemeyi temsil etmektedir (Şekil 5a). Silttaşlıörneğinde (BBG-14: smektit + kuvars + feldispat + kalsit  $\pm$  vermicülit), smektit yaprakları (yaklaşık 1-5  $\mu\text{m}$  uzunluk ve 0.1  $\mu\text{m}$  kalınlık) bal peteği görünümünde olup, detritik kuvars ve feldispat (sağ üstte) taneleri arasındaki tüm bağlayıcı malzemeyi oluşturmaktadır (Şekil 5b). Karbonatlı şeyl (BBG-25: kalsit + C-V + illit + feldispat + kuvars)örneğinde kalsitler çimento, karışık tabaklı klorit-vermicülit (C-V) mineralleri matriks olmak üzere bağlayıcı malzemede yer almaktadır (Şekil 5c). Şeylörneğinde XRD verileri ile tanımlanmış olan C-V mineralleri matriksin yanı sıra, kayacın gözeneklerinde de ortaya çıkmakta ve boyutları C-S ve smektitlere göre daha kalın gözükmektedir (Şekil 5d).

**Tablo 1.** Kil minerallerinin SEM-IXRF-EDS ana element çözümleme sonuçları (%)

Element (%)	EDS-spektrum noktaları		
	1	2	3
O	45.64	38.80	48.75
Si	22.21	34.92	20.73
Na	2.44	-	-
Mg	11.20	8.65	12.11
Al	7.62	6.60	7.88
K	0.61	0.94	0.92
Ca	3.00	1.70	2.91
Fe	7.28	8.40	6.71
Mineral	C-S	Smektit	C-V

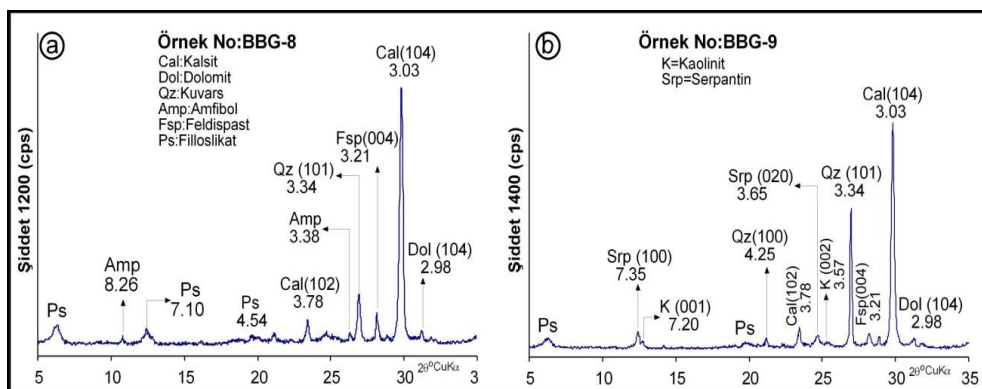
**Sekil 5.** Germav formasyonu litolojilerinin SEM mikrofotoğrafları, a) C-S yaprakları (BBG-7: Şeyl), b) Smektit yaprakları (BBG-14: Silttaşı), c) Karışık tabakalı C-V yaprakları ve özsekilsiz kalsitler (BBG-25: Karbonatlı şeyl), d) Gözenekte karışık tabakalı C-V yaprakları (BBG-25).

#### 4.3. X-Işını İncelemeleri

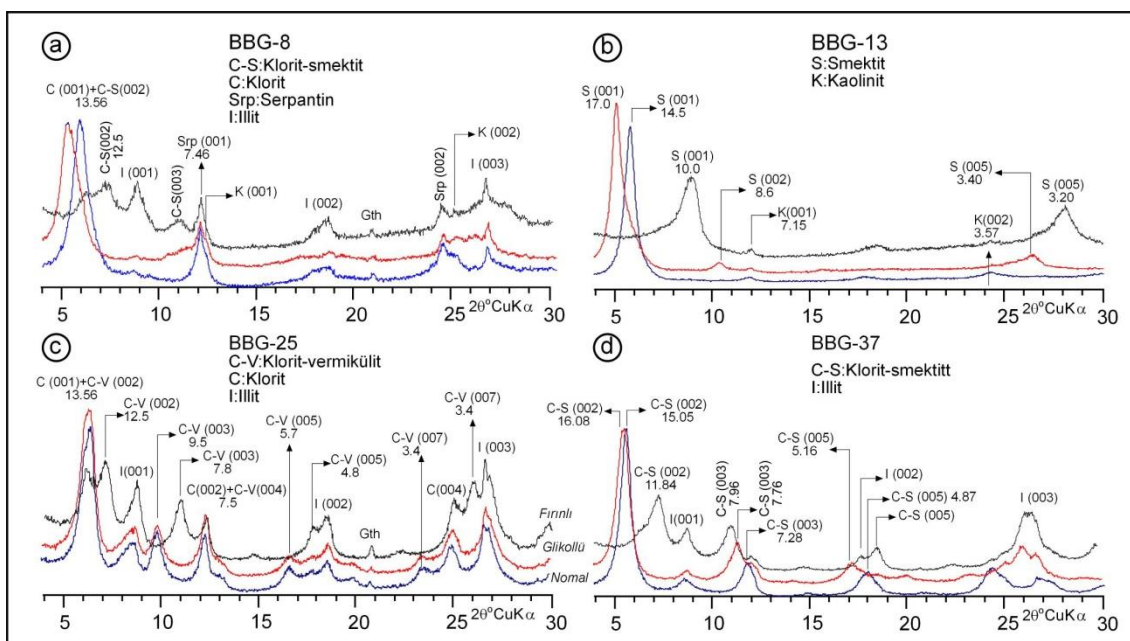
Germav formasyonu alt ve üst üyesini temsil eden 40 adet pelitik (şeyl, karbonatlı şeyl), klastik (silttaşısı, kumtaşısı, karbonatlı kumtaşısı) ve karbonatlı örnekler (marn, dolomitik marn) üzerinde XRD-TK ve XRD-KF çözümlemeleri yapılmıştır. Birimin üyelerini temsil eden pelitik, klastik ve karbonatlı kayalararda magmatik (kvarts, foldispat, amfibol, pireksit, serpentinit), diveçnetitik (fillosilikatlar) ve

mineralleri katılmaktadır. Üst Germav üyesi kumtaşlarında ortaya çıkan amfibol mineralleri 8.26 Å daki (110) yüzeyine ait pikleri yardımıyla ayırt edilmiştir (Şekil 6a). Üst Germav üyesine ait karbonatlı kumtaşı olarak tanımlanan örnekte ise tüm kayaç difraktogramında serpantin minerali (100) yüzeyine ait 7.25 Å yansımıası (kaolinit mineralinin (001) yüzeyi 7.20 Å); ayrıca (020) yüzeyine ait 3.65 Å yansımاسına ait pikler yardımıyla tanımlanmıştır (Şekil 6b).

Batman-Gercüş yöresinde Üst Germav üyesi kayaçlarında yaygın parajenezi C-S ± illit ± kaolinit ± klorit, C-S + illit + klorit + serpantin, smektit + vermekülit ve smektit + illit birlikteliği oluşturmaktadır. C-S minerali (002) yüzeyine ait 15.50 Å glikollü ve 12.00 Å da fırınlı çekimdeki yüzeyi ile klorit minerallerinden ayırt edilmiştir (Şekil 7a). Smektit minerallerine ait (001) yüzeyi normal çekimde 14.5 Å, glikollü çekimde 17.0 Å ve fırınlı çekimlerine ait 10.21 Å piklerindeki yansımaları ile tanımlanmıştır (Şekil 7b). Batman-Kırkış Yöresinde Üst Germav üyesini temsil eden kayaçlarda yaygın olarak C-V minerallerine illit + klorit mineralleri eşlik etmektedir. Ayrıca C-S + klorit + illit diğer parajenezi temsil etmektedir. C-V mineralleri normal ve glikollü çekimde 13.56 Å da klorit minerallerinin (001) yüzeyine ait normal, glikollü ve fırınlı çekimde aynı değerde gözlenmektedir. Dolayısıyla C-V minerali fırınlı çekimdeki 12.50 Å yansımıası ile klorit minerallerinden ayrılmaktadır (Şekil 7c). Alt Germav üyesinde fillosilikatları ise yaygın olarak C-S ve smektit temsil etmekte olup, bu minerallere ender olarak illit ve kaolinit mineralleri eşlik etmektedir (Şekil 7d).



**Şekil 6.** Germav formasyonu Üst üyesi kumtaşlarına ait XRD-TK difraktogramları, a) Kumtaşlarında amfibol ve eşlikçi mineraller, b) Serpantin, kaolinit ve eşlik eden mineraller



## 5. SONUÇ VE TARTIŞMA

Şırnak Grubu'na ait Üst Kretase-Paleosen yaşlı Germav Formasyonu farklı iki yaştaki üyelerden oluşmaktadır. Formasyonun Üst Maestrichtiyen yaşlı kesimi "Alt üye" ve Paleosen yaşlı kesimi ise, "Üst üye" olarak adlandırılmaktadır. Bu çalışmada da bu tanımlamalar kullanılmış olup, birim için aşağıda açıklanan sonuçlara ulaşılmıştır:

Germav Formasyonu "Üst üyesi" mavimsi, kahve-koyu gri renkli, yumuşak, kalsit ve çatlakları asfalt dolgulu, yer yer yaprak yaprak ayrılabilir, üst seviyelerde kumlu-siltli şeyl; koyu gri, yeşilimsi gri renkli, karbonatlı silttaşısı; krem, bey renkli, sert marn ve yeşilimsi gri, kahvemi gri renkli, sert, poljenik bileşenli (genelde çört, serpentinit, karbonat), az karbonat çimentolu ve kil matriksli kumtaşısı; ara katkilar halinde istif içinde bulunan gri, yesil, mavimsi gri, alacalı renkli, ince tabakalı, dayaniksız, poljenik elemanlı, karbonatlı silttaşısı seviyeleri ile temsil edildiği belirtilmiştir (Yılmaz ve Duran, 1997).

Bu çalışmada Germav Formasyonu'nun Alt üyesi alttan üste doğru; yeşilimsi koyu gri, mavimsi gri, gri renkli şeyl, karbonatlı şeyl ile arakatkılı sert kumtaşısı tabakaları ile temsil edilmektedir. Üst Germav Üyesi ise gri renkli şeyl, karbonatlı şeyl ile arakatkılar sunan ve sert seviyeleri temsil eden marn, silttaşısı ve kumtaşısı arakatkılarından oluşmaktadır. Germav Formasyonu'nun alt üyesinin alt dokanağı Gercüş Antiklinali'nin kuzeýinde Garzan Formasyonu üzerinde uyumlu geçişli olarak yer almaktadır. Birim üzerine ise uyumlu olarak Germav Formasyonu'nun üst üyesi gelir.

Şırnak Grubu karbonat (marn) ve klastik (silttaşısı, kumtaşısı) kayaçlarında optik mikroskopik incelemeler yapılmıştır. Karbonatlı kayaçların allokem bileşenlerini bolluk sırasına göre kalsit, feldispat, kuvars ve çok miktardaki opak mineraller; bağlayıcı malzemesini kil matriks ve karbonat çimento (kalsit) oluşturmaktadır. Bu kayaçlarda aynı zamanda bol opak mineral içermektedir. Alt Germav üyesinde mikritik bağlayıcı kumtaşlarında bol fosil kavşıkları da gözlenmiştir. Üst Kretase yaşlı Alt Germav üyesi kumtaşlarında yaygın olarak gözlenen fosil kavşıkları ve karbonat minerallerinin bulunduğu seviyeler ortamın zaman sıç denizel ve yüksek alkaliniteye sahip olduğuna işaret etmektedir. Çok ince taneli, mineralojik olgun, dokusal yarı olgun, şeyl türü örneklerde ise bileşenler kuvars, feldispat, mika (serizit), opak mineral ve kalsit mineralidir. Matrikte serizitleşme ve killeşme yaygın olup, siyah renkli Fe-oksit sıvamaları yaygın olarak gözlenmektedir. Kumtaşları köşeli, iyi boylanmış olup, bağlayıcı konumundaki mineraller başlıca karbonat (kalsit, az dolomit), C-S, smektitleşmiş, kısmen kloritleşmiş ve kaolinleşmiş kil/filosilikat matriks olarak sıralanabilir. Kuvars mineralleri gözeneklerde polikristalin veya işinsal türleri bulunmaktadır. Kuvarlardan monokristalin (çoğunlukla magmatik kökenli) ve polikristalin (çoğunlukla magmatik kökenli) türleri ayırtlanmıştır (Pettijohn vd., 1973).

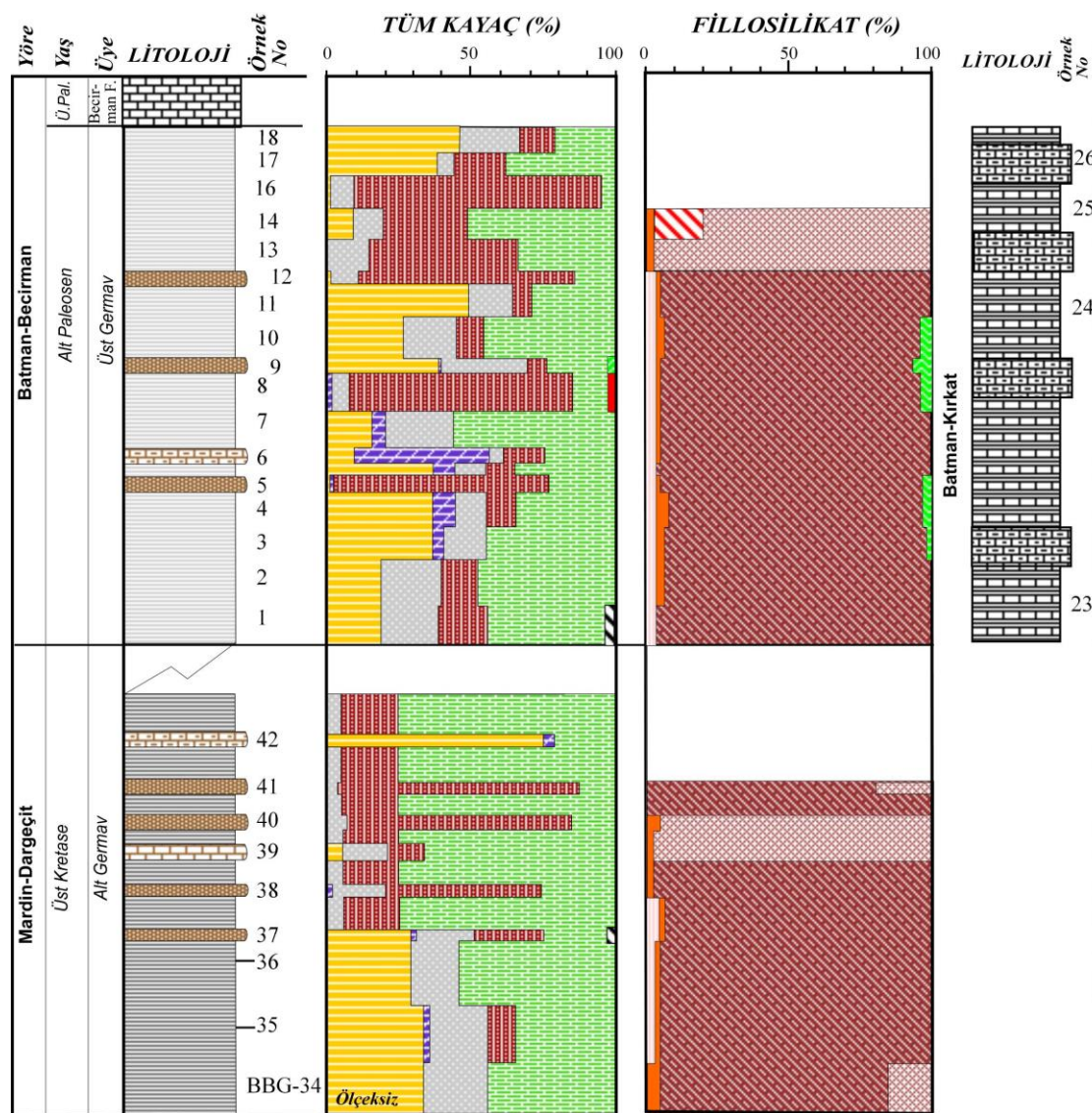
Germav formasyonu üst üyesi kumtaşlarında amfibol, piroksen, mika ve serpentin mineralleri saptanmıştır. Kumtaşlarında az miktarda olsa da gözlenen, yüksek yoğunluğa sahip olarak bilinen detritik mineraller köken kayaçların belirlenebilmesi veya havza ortamına taşınan malzemenin kaynağı açısından önemlidir. Bu minerallerin bazik ve asidik kökenli magmatik kayaçlardan türediği sonucuna varılabilmektedir. Germav formasyonu sedimanter ortam içerisinde detritik kökenli olarak değerlendirilen bu mineraller havzanın kuzeýinde yer alan Üst Kretase yaşlı GDAOK'nın oluşumu (okyanusal açılma ve kapanma) ile ilişkili bazik karakterdeki magmatizmanın etkin olduğu süreçte, bileşenlerin bu ortamdan havzaya taşındığı ileri sürülebilir. Benzer şekilde aynı kayaç türlerine ve yaklaþık aynı petrografik

Germav formasyonunda minerallerin dikey dağılımlarına göre magmatik (kuvars, feldispat, piroksen, amfibol), diyajenetik karbonat (kalsit, ender dolomit) ve fillosilikat mineralleri (C-S, smektit, C-V, ender kaolinit, klorit, illit, vermekülit, serpentin) gözlenmiştir (Şekil 8). Birimin alt seviyeleri (Alt Germav) fillosilikat minerallerinin bollukları bakımından daha zengin gözükmektedir. Bu da şeyl türü kayaçların yaygınlığı ile ilişkilendirilebilir. Dolomit minerali alt ve üst seviyelerin geçişinde gözlenmektedir. Özellikle Alt Paleosen yaşlı Üst Germav üyesindeki bazı seviyelerde ortaya çıkan serpentin, amfibol ve piroksen mineralleri Üst Kretase yaşlı ofiyolitik kuşaktan taşınan detritik kökenli bazik magmatik bileşenler biçiminde değerlendirilmiştir.

Ortamda smektit, vermekülit, C-S ve C-V minerallerinin varlığı ve yanal/düşey yöndeki dağılımı havza içerisinde türedikleri kayaçların köken malzemesi ile ilişkili olup, daha çok feldispat, mika, piroksen minerallerinin bozusması veya volkan camlarından itibaren neoformasyon ve/veya transformasyon mekanizmasını ile olduğu öncel çalışmalarında formülize edilerek açıklanmıştır (örneğin; Yalçın ve Gümüşer, 2000; Yalçın ve Bozkaya, 2003; Yalçın vd., 2005).

Germav Formasyonu çoğunlukla ince taneli klastik litoloji içeren birimi temsil eden şeyl, silttaşısı ve kumtaşısı kayaçlarda magmatik (kuvars, feldispat, piroksen, amfibol, serpentin), diyajenetik karbonat (kalsit, dolomit) ve fillosilikat (illit, klorit, kaolinit, C-S, smektit, C-V, vermekülit) mineralleri içermektedir. Kil minerallerinin düşey dağılımı litolojik değişimler havzanın sedimentasyonu sırasında ofiyolitik dizilime ait magmatik beslenme ile ilişkili olarak ortaya çıkmaktadır. Örneğin smektit minerallerinin arttığı seviyelerde feldispat ender olarak amfibol ve piroksen minerallerinin gözlenmesi; bu mineralin koyu renkli minerallerin bozunma / bozusmasından ziyade, volkanik camdan itibaren geliştiğine işaret etmektedir. Germav formasyonu derin denizel çökelleri temsil etmekle birlikte, bu kayaçlara eşlik eden magmatik/ofiyolitik kökenli mineraller (feldispat, piroksen, amfibol, serpentin) detritik ve bu seviyelerde ortaya çıkan kil minerallerinin (C-S, C-V, vermekülit, smektit, klorit ve illit) ise feldispat, piroksen minerallerinin bozusması ve/veya volkanik cam/deniz suyu etkileşimi ile oluşan diyajenetik/neoformasyon kökenli oldukları öne sürülebilir.

Germav formasyonu Üst Kretase yaşlı Alt Germav ve Alt Paleosen yaşlı Üst Germav üyelerinde gözlenen yanal ve düşey yöndeki tüm kayaç ve kil mineralojisindeki farklılıklar havzanın değişik zamanlarda farklı kaynaklardan (provenanslardan) beslenmesi sonucu gelişmiş olabileceği biçimde değerlendirilmiştir. Özellikle bu beslenmenin Arap Plakası'nın kuzeyindeki Neotetis Okyanusu'nun sırasıyla Permyen-Triyas yaşlı döneminde açılma ve Üst Kretase'de kapanmaya başlaması (Şengör ve Yılmaz, 1981; Yıldırım ve Yılmaz 1991; Yılmaz, 1993; Yılmaz vd., 1993; Robertson vd., 2007) ile meydana gelen ve Neotetis okyanusunun kalıntılarını temsil eden Güneydoğu Anadolu Ofiyolit Kuşağı'ndaki jeotektonik olaylar zincirini işaret eden, havzaya taşınmış detritik kökenli malzemeler olduğu, oluşan kil mineral türlerinin ise özellikle volkan camı + deniz suyu ile etkileşimi ile ortaya çıkan neoformasyon ve/veya açık ve koyu renkli minerallerin transformasyon ürünleri olduğu biçiminde yorumlanmıştır.



Şekil 8. Germav Formasyonu üyelerine ait kayaçlarda gözlenen mineraller



## TEŞEKKÜR

Yazarlar arazi ve laboratuvar çalışmalarına katılımından dolayı Yeter BUTEKİN'e, SEM-EDS incelemeleri için MTA Mineraloji-Petrografi Laboratuvarı (Ankara) çalışanı Ufuk KİBAR'a teşekkür ederler. Yazarlar çalışmaya bilimsel katkılarını sunan Prof.Dr. Ömer BOZKAYA ve Doç.Dr.Dicle BAL AKKOCA'ya teşekkür ederler.

## KAYNAKÇA

- Amoco, J.M. (1985). *Turkey ESRI report no. ET 85/1 geological studies in SE Turkey (Pervari- Beytişebap, Hazro, Mardin)*: TPAO Arama Grubu, Rapor no. 2115, 214 s.
- Bağırsakçı, S. & Akçay, A. E. (1995). *Diyarbakır-Ergani-Çınar Alanının Jeolojisi*: MTA Jeoloji Etütleri Dairesi Jeoloji Raporu Arşiv No 9927.
- Bolgi, T. (1961). *V.Petrol Bölgesi seksiyon Ölçmeleri AR/TPO/261 nolu saha ile Resan-Dodan arası batısındaki sahanın strüktürel etüdleri*: TPAO Arama Grubu, Rapor No 162.
- Bozkaya, Ö. & Yalçın, H. (2013). Geochemical monitoring of clays for diagenetic evolution of the Paleozoic-Lower Mesozoic sequence in the northern Arabian plate: Hazro and Amanos regions, Southeastern Turkey. *J African Earth Sci.*, 86, 10-24.
- Bozkaya, Ö. Yalçın, H. & Kozlu, H. (2011). Clay mineralogy of the Paleozoic-Lower Mesozoic sedimentary sequence from the northern part of the Arabian Platform, Hazro (Diyarbakır), Southeast Anatolia. *Geol. Carpath.*, 62, 489-500.
- Brindley, G.W. (1980). Quantitative X-ray mineral analysis of clays. In: Crystal structures of Clay Minerals and their X-ray Identification (G.W. Brindley, G. Brown (eds.). *Mineralogical Society London*, 411-438.
- Çoruh, T. (1991). *Adiyaman civarında (XI. Bölge KB'sı ve XII. Bölge) yüzeyleyen Kampaniyen-Tanesiyen istifinin biyostratigrafisi ve paleocografik evrimi*: TPAO Araştırma Merkezi, Rapor No 1656.
- Göncüoğlu, M.C. & Turhan, N. (1981). Bitlis Metamorfitlerinde yeni yaş bulguları. *MTA Enstitüsü Dergisi*, 95/96, 44-48.
- Göncüoğlu, M.C. Dirik, K. & Kozlu, H. (1997). General characteristics of pre-Alpine and Alpine Terranes in Turkey: Explanatory notes to the terrane map of Turkey. *Géol Pays Hellén.*, 3, 515-536.
- Günay, Y. (1984). *Amanos Dağlarının jeolojisi ve Karasu-Hatay grabeninin petrol olanakları*: TPAO Arama Grubu, Rapor No 1954.
- Güven, A. Dinçer, A. Tuna, M.E. Tezcan, U.Ş. & Çoruh, T. (1988). *Güneydoğu Anadolu'da Mardin-Midyat Grubupları arasında yer alan birimlerin stratigrafisi*. TPAO Arama Grubu, Rapor No 2414.
- Güven, A. Dinçer, A. Tuna, M.E. & Çoruh, T. (1991). *Güneydoğu Anadolu Kampaniyen-Paleosen otokton istifinin stratigrafisi*: TPAO Arama Grubu, Rapor No.2828.
- J.C.P.D.S. (1990). *Powder Diffraction File. Alphabetical Indexes Inorganic Phases*, Swarthmore USA, 871 p.
- Kellogg, H. E. (1960). *Stratigraphic report, Hazro area, Petroleum District V, SE Turkey (American Overseas Petroleum (AMOSEAS) Report)*: Petrol İşleri Genel Müdürlüğü Teknik Arşivi, Rapor no. 1, 42 s.
- Ketin, İ. (1948). *Ergani-Eğil bölgesinin Jeolojik Etüdü*. MTA Derleme No, 2015.
- Ketin, L. (1983). *Türkiye Jeolojisine Genel Bir Bakış*, İstanbul Teknik Üniversitesi Yayınları, 1251.
- Kirk, H. M. (1937). *Memorandum on Gerciş, Hernis-Kermav region*. MTA Derleme No: 253, 6 sayfa.
- Koenen, K. & Perry, L. (1957). *Germav Section (Esso Standard Turkey Inc.)*. TPAO Arama Grubu, Arşiv No:947.
- Maxon, J.H. (1936). *Geology of petroleum possibilities of the Hermis dome*. MTA Derleme no 255, 25 sayfa.

- Perry, L. & Yalçın, K. (1957). *Tavan structure (south) section (Esso Standard (Turkey) Inc.)*; TPAO Arama Grubu Arşiv No 925.
- Pettijohn, F.J. Potter, P.E. & Siever, R. (1973). *Sand and Sandstone*. Wiley, New York, 168 p.
- Robertson, A.H.F. Parlak, O. Rızaoglu, T. Ünlügenç, Ü. İnan, N. Taslı, K. & Ustaömer, T. (2007). Tectonic evolution of the South Tethyan ocean: evidence from the Eastern Taurus Mountains (Elazığ region, SE Turkey). *Spec. Publ. of Geol. Soc. of London*, 272, 231-270.
- Soytürk, N. & Erdoğan, T. (1974). *Bakıük-Ceylanpınar-Derik-Mazıdağı dolaylarının jeolojisi ve hidrokarbon olanakları*. TPAO Arama Grubu, Rapor No 865, 14 sayfa.
- Sengör, A.M.C. & Yılmaz, Y. (1981). Tethyan evolution of Turkey, a plate tectonic approach. *Tectonophysics*, 75, 181-241.
- Ten Dam, A. (1955). Stratigraphy and sedimentation of the Lower Tertiary and Mesozoic of the foredeep basin of S.E. Turkey. *TJK Bülteni*, Cilt 4, (1), 135-155.
- Tetiker, S. Yalçın, H. & Bozkaya, Ö. (2015a). *Güneydoğu Anadolu Otoktonu-Doğu Bölümü (Şırnak-Ulusdere-Uzungeçit) Alt Triyas Yaşılı Çığlı Grubu Kayaçlarının Mineralojik Özellikleri*. 68. Türkiye Jeoloji Kurultayı, 06-10 Nisan, Ankara, 410-411.
- Tetiker, S., Yalçın, H. & Bozkaya, Ö. (2015b). *Hakkari-Çukurca Yöresinde (Güneydoğu Anadolu Otoktonu-Doğu Bölümü) Alt Paleozoyik Birimlerinin Diyajenez/Metamorfizma Derecesine İlişkin İlk Bulgular*. 16. Ulusal Kil Sempozyumu, 01-05 Eylül, Çanakkale, 44-46.
- Tetiker, S. Yalçın, H. & Bozkaya, Ö. (2016). Ulusdere-Uzungeçit (Şırnak) yöresinde (Güneydoğu Anadolu Otoktonu Doğu Bölümü) Alt Triyas Yaşılı Çığlı Grubu Kayaçlarının Diyajenez/Metamorfizma Tarihçesi. *Türkiye Jeoloji Bülteni*, 59 (3), 323-340.
- Tolun, N. Erentöz, C. & Ketiň, İ. (1962). *1/500.000 ölçekli Türkiye jeolojisi haritası (Diyarbakır paffası)*. MTA yayınları, 69 sayfa.
- Tromp, S.W. (1940). *Preliminary report on the oil possibilites of SE Turkey, Based on a re-interpretation of microfaunal and sub-surface data*. MTA Derleme Raporu 1216, 74 s.
- Tuna, D. (1973). *VI. Bölge litostratigrafi birimleri adlamasının açıklayıcı raporu*. TPAO Arama Grubu Arşiv No 813.
- Weilace, & Marbesini, (1953). Derik-Mazıdağ section (Esso Standard (Turkey) Inc.); TPAO Arama Grubu, Arşiv no. 916.
- Yalçın, H. Bozkaya, Ö. & Tetiker, S. (2005). *Kangal kömür yatağının kil mineralojisi ve jeokimyası*. 12. Ulusal Kil Sempozyumu, Yüzüncüyıl Üniversitesi, Van, 5-9 Eylül, Bildiriler Kitabı, 16-31.
- Yalçın, H. & Bozkaya, Ö. (2002). Hekimhan (Malatya) çevresindeki Üst Kretase yaşılı volkaniklerin alterasyon mineralojisi ve jeokimyası: Denizsuyu-kayaç etkileşimine bir örnek. *CÜ Mühendislik Fakültesi Dergisi, Seri A-Yerbilimleri*, 19, (1), 81-98.
- Yalçın, H. & Bozkaya, Ö. (2003). Sivas Batosındaki (Yıldızeli-Akdağmadeni) hidrotermal kaolin ve I-S oluşumlarının mineralojisi ve jeokimyası. *Türkiye Jeoloji Bülteni*, 46, 1-23.
- Yalçın, H. & Gümüşer, G. (2000). Mineralogic and geochemical characteristics of Late Cretaceous bentonite deposits at the north of Kelkit valley, Northern Turkey. *Clay Minerals*, 35, 807-825.
- Yılmaz, Y. (1984). *Amanos dağlarının jeolojisi*: TPAO Arama Grubu, Rapor no. 1920, 591 sayfa.
- Yılmaz, Y. (1993). New evidence and model on the evolution of the southeast Anatolian orogen. *Geol. Soc. Amer. Bull.*, 105, 251-271.
- Yıldırım, M. & Yılmaz, Y. (1991). Güneydoğu Anadolu Orojenik Kuşağıının Ekaylı Zonu. *TPJD Bülteni*, C (3/1), 57-73.
- Yılmaz, E. & Duran, O. (1997). Güneydoğu anadolu bölgesi otokton ve allokton birimler stratigrafi adlama sözlüğü